

新東京国際空港公園

橋本四秀
正員○阿部洋一
菅野勉

1. 概 説

舗装の施工管理や在来舗装の評価には、従来より現場密度、現場CBR、平板載荷、ベンケルマンビーム試験等が用いられてきた。最近では、たわみやたわみ曲率などによる舗装の評価法やオーバーレイ設計法が色々提案されている。別な観点から見れば、舗装は今、重舗装に対応すべき時代的限界を迎えていると云え、従つて適切なオーバーレイが早急にがつ經濟的に設計されうるためには、重舗装の耐荷能力を測定するための迅速で、經濟的な非破壊的手段の必要性が唱えられている。ここで取り上げたダイナフレクトは、非破壊試験として動的なたわみを測定する装置であり、舗装体評価法としての測定のスピード化、操作の簡便さ、省力化が期待でき、多様な応用に対する潜在力を有するものと考えられる。

2. ダイナフレクトの機構と原理

装置は小さな2輪のトレーラー上の動荷重発生装置と測定記盤に接觸する検出装置(5個のセンサー)、および制御モリブに測定装置とからなる。センサーの配置と生ずるたわみの関係図は図-1に示される。

動荷重発生装置は図-2で示され、必要動力は120VDC、開始時100A、測定時8Aで、反対方向に回転する不平衡の1対のはずみ車を用い不平衡質量の加速の垂直方向構成部分は1対の固定輪を通じて周期的な力を地面に伝える。水平方向の構成部分は反対回転で相殺される。トレーラーの重量は静止状態で726kg、動的状態で950kgから500kgに正弦波で変化する。つまりはすみ車の回転によって450kgのピーク、ピークの動荷重を生む。

センサーの構造図は図-3で示され、中央ロッドに固定された磁石と外側のリングにより平等磁界を形成し、その中でコイルが運動する。コイルは保持ロッドと板バネを介して保持され、コイルの質量と板バネのばね定数による共振卓(8サイクル)を持っている。コイルの移動速度は出力電圧に比例し、変位はコイルの移動速度に比例することより、変位は出力電圧に比例する。センサーの出力電圧 e [V] は、

磁束密度 B [Wb/m^2] …一定、磁束 Φ の角度で切る導体の長さ(コイルの長さ) l [m] …一定、導体の運動速度 v [m/sec] とすれば $e = Blv \sin \theta$ となり、出力電圧は速度に比例した電圧を出力として取り出す。図-4に示すように増幅器の出力は正弦波で出てくるので、整流され、1秒間積算されて直流メーターに入る。増幅器の中の滤波器を通じて正弦波動的荷重を用いることによって、メーターの表示は各センサーの位置における動きの振巾に対して直接比例したものがになる。スケールの目盛はミリインチ($1/1000$ インチ)になって

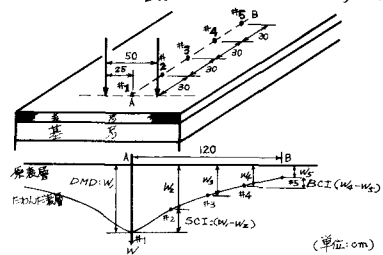


図-1 センサーの配置とたわみの関係図

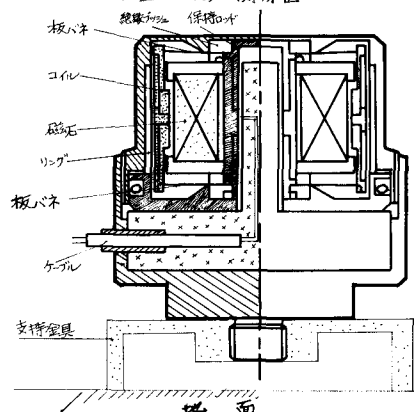


図-2 動荷重発生装置

センサー

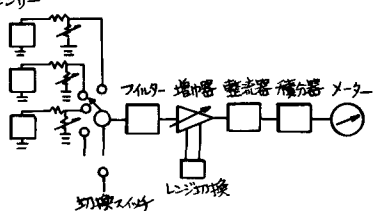


図-3 センサーの構造図

センサー

図-4 ダイナフレクトの測定組織図

おり、適切な増やしを得るためのレインジ(30, 10, 03, 01, 003, 001)切換が用意されている。

3. 測定項目と解析例

測定の為のデータシートは表-1を示され、メーターの読みとレインジの値の積がそのセンサー位置のたわみを与えることになる。5つのセンサー間の相互関係は図-1に示したが、この中で最大たわみ量(DMD)は舗装体の支持力を表わし、この他に舗装の表層部分の強度を表わす因子としてオ1センサーとオ2センサーの差(SCI)，路盤・路床部分の強度を表わす因子としてオ4センサーとオ5センサーの差(BCI)を与えている。表-2はユタ州道路局でのダイナフレクトによる解析結果からの舗装の評価法を示している。評価は上で述べた3つの因子の基準値の上下で舗装を8つのタイプに分類している。設定した周波数(8サイクル)は従来の静的載荷試験との相関性があるとして、相関式も算出している。表-2の基準値は対象とする舗装の用途に対応した値を用意しなければならぬし、相関式も我が国の各種の土質条件のもとでひき続き検討しなければならぬと考える。

4. 実測結果

図-6は比較的路条件が類似する部分での各種の舗装構造(図-5)に対応した舗装表面での代表値を示している。舗装構造に対応したたわみが得られている一方、コンクリート舗装のたわみの意味するところを遺憾しているねばならないと考える。

図-7、図-8は新空港の舗装建設過程で、路床から表層迄同一地盤で継続測定してきた結果を上げている。たわみの減少過程が使用材料の種類と厚さで変わっていくのが読みとれる。

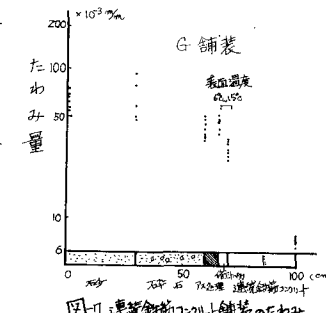


図-5 新空港の各種舗装構造

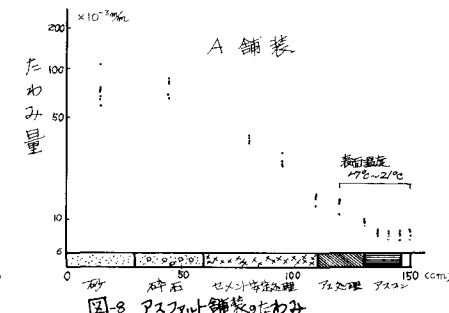


図-6 各種舗装構造のたわみ(代表値)

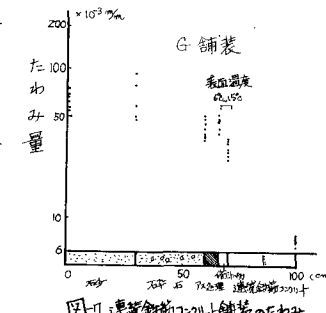


図-7 連続鉄筋コンクリート舗装のたわみ

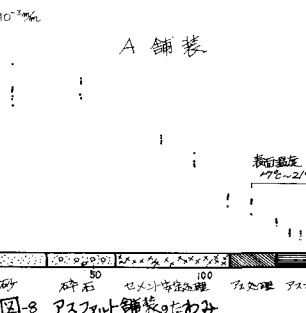
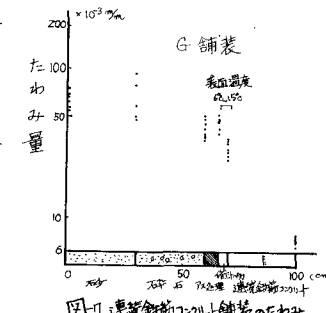


図-9は4000m滑走路全長に亘る構造別、切替別、施工性、路条件等の影響を示す図である。最後にとりまことに当り工事局舗装工事課の山根、萩島両君および岩瀬機械工業の安藤氏に謝意を表する次第である。

参考文献 Deflection analysis of flexible pavements : UTAH STATE HIGHWAY DEPARTMENT

日付 表-1 ダイナフレクト測定データ sheet No.
 測定者 道路構造試験室エクサン
 測定 測定

測定 NO.	測定記述	NO.1センサー	NO.2センサー
1	表層左	4.4 0.1 0.44	3.8 0.1 0.38
2	既存左+K2	3.6 0.3 1.4	6.0 0.1 0.6

(単位: $1000(\text{kg})$)

表-2 ダイナフレクトのたわみ量基準

DMD	SCI	BCI	舗装構造の状態
2B以下	2B以下	2B以下	舗装・路床とも弱い
2B以上	2B以上	2B以上	路床強く舗装弱い
2B以上	2B以上	2B以上	路床弱く舗装限界
2B以上	2B以上	2B以上	DMD高いが構造はOK
2B以上	2B以上	2B以上	構造は限界だがDMD OK
2B以上	2B以上	2B以上	舗装は弱いがDMD OK
2B以上	2B以上	2B以上	路床は弱いがDMD OK
2B以上	2B以上	2B以上	舗装・路床とも強い

(単位: $\times 10^{-3} \text{ mm}$)

m

m

m

m

m

m

m

m

m

m

m

m

m

m

m

m

m

m

m

m

m

m

m

m

m

m

m

m

m

m

m

m

m

m

m

m

m

m

m

m

m

m

m

m

m

m

m

m

m

m

m

m

m

m

m

m

m

m

m

m

m

m

m

m

m

m

m

m

m

m

m

m

m

m

m

m

m

m

m

m

m

m

m

m

m

m

m

m

m

m

m

m

m

m

m

m

m

m

m

m

m

m

m

m

m

m

m

m

m

m

m

m

m

m

m

m

m

m

m

m

m

m

m

m

m

m

m

m

m

m

m

m

m

m

m

m

m

m

m

m

m

m

m

m

m

m

m

m

m

m

m

m

m

m

m

m

m

m

m

m

m

m

m

m

m

m

m

m

m

m

m

m

m

m

m

m

m

m

m

m

m

m

m

m

m

m

m

m

m

m

m

m

m

m

m

m

m

m

m

m

m

m

m

m

m

m

m

m

m

m

m

m

m

m

m

m

m

m

m

m

m

m

m

m

m

m

m

m

m

m

m

m

m

m

m

m

m

m

m

m

m

m

m

m

m

m

m

m

m

m

m

m

m

m

m

m

m

m

m

m

m

m

m

m

m

m

m

m

m